

**VÝBĚR METODY PRO ŘEŠENÍ ÚLOH S POHYBLIVOU  
HRANICÍ METODOU PŘÍMEK S VYUŽITÍM ALGORITMŮ  
MATLABU**

*Jakub Slovan*

Západočeská univerzita v Plzni

Fakulta aplikovaných věd

## 1 Problém s pohyblivou hranicí

Problémy s pohyblivou hranicí jsou úlohy, kdy oblast, na které je problém definován, mění svůj tvar. Součástí řešení takové úlohy je nejen neznámá funkce samotná, ale zároveň i neznámá hranice oblasti nebo její část.

Zaměříme se na následující problém

$$\frac{\partial u}{\partial t} - \frac{\partial^2 u}{\partial x^2} = 0, \quad x \in (0, s(t)), \quad t > 0, \quad (1)$$

$$\frac{\partial u}{\partial x}(0, t) = -e^t, \quad t > 0, \quad (2)$$

$$u(s(t), t) = 0, \quad t > 0, \quad (3)$$

$$\frac{ds}{dt}(t) = -\frac{\partial u}{\partial x}(s(t), t), \quad t > 0, \quad (4)$$

$$s(0) = 0. \quad (5)$$

Hledáme funkci  $u(x, t)$  definovanou na intervalu  $(0, s(t))$ , přičemž poloha pravého krajního bodu intervalu  $s(t)$  zde představuje neznámou část hranice a patří mezi hledané veličiny.

Řešením soustavy (1) až (5) myslíme dvojici  $\{u(x, t), s(t)\}$  vyhovující všem rovnicím. Analytickým řešením této soustavy, použitým později pro porovnání metod, je dvojice

$$u(x, t) = e^{t-x} - 1, \quad x \in (0, t), \quad t > 0, \quad (6)$$

$$s(t) = t, \quad t > 0. \quad (7)$$

Naším cílem je nelineární soustavu (1) až (5) řešit metodou přímek, tj. approximovat ji vhodnou semidiskrétní metodou a s využitím MATLABu výslednou soustavu obyčejných rovnic vyřešit.

## 2 Numerické řešení

Způsob zohlednění pohyblivé hranice je mnoho a čtenář se s nimi může seznámit v [2]. V zásadě se diskretizace skládá ze tří kroků, a to

- způsob approximace pohyblivé hranice  $s(t)$ ,

- diskretizace v prostorové proměnné,
- diskretizace v časové proměnné.

V tomto článku jsme zvolili způsob zahrnutí pohyblivé hranice ze třídy tzv. metod fixované hranice a pro diskretizaci v proměnné  $x$  jsme zvolili konzervativní metodu integrálních identit.

Princip spočívá v tom, že nejprve vhodně transformujeme proměnné tak, aby se proměnná oblast  $(0, s(t))$  zobrazila na pevnou úsečku  $(0, 1)$ , čímž se nám pohyblivá hranice zobrazí do pevného bodu. Změní se ale i rovnice. Transformovanou soustavu řešíme metodou přímek, tj. diskretizujeme v prostorové proměnné a získanou semidiskrétní soustavu rovnic řešíme vhodnou metodou pro řešení počátečních úloh. Tím získáme řešení transformovaných rovnic v transformovaných proměnných. Nakonec transformujeme řešení zpět do původních proměnných.

Definujeme transformaci  $(x, t) \mapsto (\xi, t)$  předpisem

$$\xi = \frac{x}{s(t)}, \quad t = t, \quad t > 0 \quad (8)$$

a veličinu  $\tilde{u}(\xi, t)$  předpisem

$$u(x, t) \stackrel{\text{def}}{=} \tilde{u}\left(\frac{x}{s(t)}, t\right), \quad \forall x \in (0, s(t)), t > 0. \quad (9)$$

Z (8) a (9) vyplývá:

$$u_x(x, t) = \frac{1}{s(t)} \tilde{u}\left(\frac{x}{s(t)}, t\right) = \frac{1}{s(t)} \tilde{u}_\xi(\xi, t), \quad (10)$$

$$u_t(x, t) = -\tilde{u}_\xi\left(\frac{x}{s(t)}, t\right) \cdot \frac{x s'(t)}{s^2(t)} + \tilde{u}_t\left(\frac{x}{s(t)}, t\right) = \tilde{u}_t(\xi, t) - \frac{s'(t)}{s(t)} \xi \tilde{u}_\xi(\xi, t), \quad (11)$$

kde  $s'(t)$  značí derivaci funkce  $s(t)$  podle  $t$  a indexy značí derivaci podle příslušných proměnných.

Dosadíme-li vztahy (10) a (11) do původní rovnice, dostáváme transformovanou soustavu:

$$\frac{\partial \tilde{u}}{\partial t} - \frac{s'}{s} \xi \frac{\partial \tilde{u}}{\partial \xi} - \frac{1}{s^2} \frac{\partial^2 \tilde{u}}{\partial \xi^2} = 0, \quad \xi \in (0, 1), \quad t > 0, \quad (12)$$

$$\frac{1}{s} \frac{\partial \tilde{u}}{\partial \xi}(0, t) = -e^t, \quad t > 0, \quad (13)$$

$$\tilde{u}(1, t) = 0, \quad t > 0, \quad (14)$$

$$\frac{ds}{dt} = -\frac{1}{s(t)} \frac{\partial \tilde{u}}{\partial \xi}(1, t), \quad t > 0, \quad (15)$$

$$s(0) = 0. \quad (16)$$

Zavedeme síť  $\{\xi_i = i \cdot h; h = \frac{1}{N}, N \in \mathbb{N}\}$  pro vhodně zvolené  $N$ . Symboly  $\xi_{i \pm 1/2}$  označíme hodnoty  $\xi_i \pm h/2$  a symboly  $x_{i \pm 1/2}$  označíme  $s(t)\xi_{i \pm 1/2}$ . Rovnici (12) approximujeme metodou integrálních identit.

Nejprve integrujeme na intervalu  $(\xi_{i-1/2}, \xi_{i+1/2})$ :

$$\int_{\xi_{i-1/2}}^{\xi_{i+1/2}} \left[ \tilde{u}_t - \frac{s'}{s} \xi \tilde{u}_\xi \right] s \, d\xi - \frac{\text{Fo}}{s} [\tilde{u}_\xi]_{\xi_{i-1/2}}^{\xi_{i+1/2}} = 0.$$

Druhý člen v integrálu integrujeme per partes, a základem další diskretizace je pak identita

$$\int_{\xi_{i-1/2}}^{\xi_{i+1/2}} \tilde{u}_t s \, d\xi + \int_{\xi_{i-1/2}}^{\xi_{i+1/2}} \tilde{u} s' \, d\xi - \left[ s' \xi \tilde{u} + \frac{\text{Fo}}{s} \tilde{u}_\xi \right]_{\xi_{i-1/2}}^{\xi_{i+1/2}} = 0. \quad (17)$$

Numericky funkci  $\tilde{u}(\xi, t)$  approximujeme lineárním splajnem s uzly  $(\xi_i, \tilde{u}(\xi_i, t))$ . Přibližné řešení funkce  $\tilde{u}(\xi_i, t)$  pak označíme  $\tilde{U}_i(t)$ , přibližné řešení funkce  $s(t)$  označíme  $S(t)$ . V dalším textu budeme pro přehlednost proměnnou  $t$  vynechávat, tj. budeme psát  $\tilde{U}_i$  a  $S$ .

Hodnoty v (17) nahradíme vztahy

$$\begin{aligned} \tilde{u}_\xi(\xi_{i+1/2}, t) &\approx \frac{\tilde{U}_{i+1} - \tilde{U}_i}{h}, \\ \tilde{u}(\xi_{i+1/2}, t) &\approx \frac{\tilde{U}_{i+1} + \tilde{U}_i}{2}, \\ \int_{\xi_{i-1/2}}^{\xi_{i+1/2}} \tilde{u} \, d\xi &\approx \frac{h}{8} (\tilde{U}_{i-1} + 6\tilde{U}_i + \tilde{U}_{i+1}), \end{aligned}$$

a získáme tak semidiskrétní soustavu rovnic

$$\begin{aligned} \frac{1}{8} [(\tilde{U}_{i-1})_t + 6(\tilde{U}_i)_t + (\tilde{U}_{i+1})_t] &= \tilde{U}_{i-1} \left[ \frac{S'}{S} \left( -\frac{i-1/2}{2} - \frac{1}{8} \right) + \frac{\text{Fo}}{S^2 h^2} \right] + \\ &+ \tilde{U}_i \left[ -\frac{S'}{4S} - \frac{2\text{Fo}}{S^2 h^2} \right] + \tilde{U}_{i+1} \left[ \frac{S'}{S} \left( \frac{i+1/2}{2} - \frac{1}{8} \right) + \frac{\text{Fo}}{S^2 h^2} \right], \quad 1 \leq i \leq N-1, \end{aligned} \quad (18)$$

s okrajovými podmínkami

$$\frac{1}{8} [3(\tilde{U}_0)_t + (\tilde{U}_1)_t] = \tilde{U}_0 \left[ -\frac{S'}{8S} - \frac{1}{h^2 S^2} \right] + \tilde{U}_1 \left[ \frac{S'}{8S} + \frac{1}{h^2 S^2} \right] + \frac{e^t}{h S}, \quad (19)$$

$$\tilde{U}_N = 0, \quad (20)$$

pro neznámé funkce proměnné  $t$   $\tilde{U}_0, \tilde{U}_1, \dots, \tilde{U}_{N-1}$ .

Protože approximace  $\tilde{u}(\xi, t)$  lineárním splajnem nám neumožňuje approximovat derivaci  $\tilde{u}_\xi(1, t)$  s chybou druhého řádu, approximujeme ji pomocí kvadratického interpolačního polynomu, dosadíme do (4)

$$\frac{dS}{dt}(1, t) = -\frac{1}{2S h} (\tilde{U}_{N-2} - 4\tilde{U}_{N-1}) \quad (21)$$

a doplníme počáteční podmínkou

$$S(0) = \varepsilon, \quad \varepsilon > 0. \quad (22)$$

Důvodem pro (22) je to, že hodnota  $S$  se vyskytuje ve jmenovateli rovnic (18) až (21).

Soustavu (18) až (22) pak řešíme vhodně zvolenou metodou pro řešení počátečních úloh. Nakonec symbolem  $U_i$  označíme výsledek v původních proměnných

$$U_i = \tilde{U}_i \approx u(\xi_i S, t).$$

### 3 Výběr metody pro počáteční úlohu

Metodu vybíráme ze skupiny ODE řešičů MATLABu pro úlohy s velkým tlumením, tj. `ode15s`, `ode23s`, `ode23t` a `ode23tb`. Parametry metod `MassConstant`, `JPattern` a `Vectorized`, pak umožňují využití speciálních vlastností soustavy (18) až (22).

#### 3.1 Chyba řešení

Za chybu řešení budeme považovat rozdíl  $U_i - u(\xi_i S, t)$  přibližně vypočítané hodnoty  $U_i$  situované do bodu  $\xi_i S$  a analytické hodnoty  $u(\xi_i S, t)$  řešení v tom samém bodě. Pro chybu řešení tedy platí:

$$u(\xi_i S, t) - U_i = u(\xi_i S, t) - u(\xi_i s(t), t) + u(\xi_i s(t), t) - U_i.$$

Ovšem přibližná hodnota  $U_i$  funkční hodnoty  $u(x_i, t)$  je zároveň přibližnou hodnotou  $\tilde{U}_i$  funkční hodnoty  $\tilde{u}(\xi, t)$ . Stejně tak je funkční hodnota  $u(\xi s(t), t)$  stejná jako funkční hodnota  $\tilde{u}(\xi, t)$ , což plyne z (9). Celý vztah pro chybu se tedy dá též zapsat jako

$$u(\xi S, t) - U_i = u(\xi_i S, t) - u(\xi_i s(t), t) + \tilde{u}(\xi, t) - \tilde{U}_i.$$

Předpokládáme-li malé chyby  $S - s(t)$ , lze chyba vyjádřit přibližně vztahem

$$\Delta u \doteq \xi u_x(\xi \cdot s(t), t) \Delta s + \Delta \tilde{u} = \xi \tilde{u}_\xi \delta s + \Delta \tilde{u}. \quad (23)$$

Hodnoty  $\xi \tilde{u}_\xi$  můžeme odhadnout z přibližného řešení. Ze vzorce (23) je vidět, že absolutní chyba řešení se zesiluje s rostoucí relativní chybou  $\delta s$  s konstantou úměrnosti zjistitelnou aposteriorně.

Pro účely hodnocení metod zavedeme pojmy a symboly:

$\delta s(t)$ : časový průběh relativní odchylky  $\delta s(t) = |\frac{S(t) - s(t)}{s(t)}|$ ,

$\|\Delta \tilde{u}\|(t)$ : časový průběh maximální absolutní odchylky na  $(0, 1)$ ,  $\|\Delta \tilde{u}\|(t) = \max_{\xi \in (0,1)} |\tilde{u}(\xi, t)|$

$\|\Delta u\|$ : celková míra chyby,  $\|\Delta u\| = \max_t \{\|\xi \tilde{u}_\xi\|(t) \cdot \delta s(t), \|\Delta \tilde{u}\|(t)\}$ ,

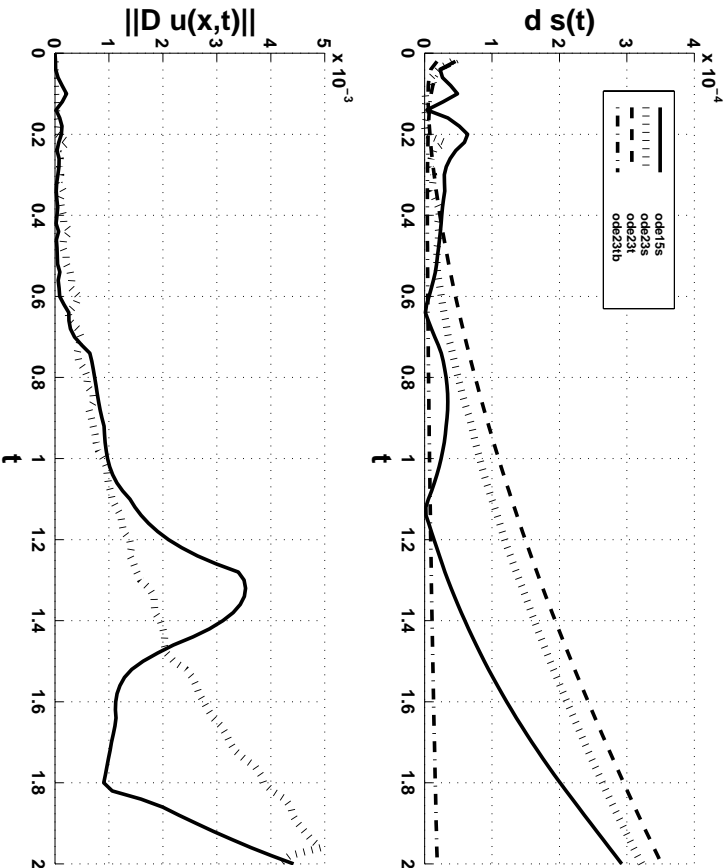
$\tau$ : výpočetní čas, zjištěný jako střední hodnota z dob deseti po sobě jdoucích výpočtech,

$\tau \|\Delta u\|$ : rozhodovací kriterium náročnosti a nepřesnosti výpočtu.

Tyto ukazatele budeme vyhodnocovat při použití každé metody, a na jejich základě rozhodneme o vhodné volbě.

### 3.2 Experimenty

Specifikace výpočtů: Výpočty byly prováděny na počítači AMD Athlon, 1 050 MHz, 0,5 GB paměti, v MATLABu v. 5.2.1. Počet intervalů diskretizace je 30, výsledky jsou uclovávány v časech 0; 0,02; 0,04; ...; 2, počáteční hodnoty jsou  $\tilde{U}_i = 0$ ,  $s(0) = 10^{-6}$ . Hodnoty AbsTol a RelTol byly ponechány přednastavené, tj.  $10^{-6}$  a  $10^{-3}$ . Volba BDF byla vypnuta. Ve všech případech bylo využito předvoleb MassConstant, JPattern a Vectorized.



Obrázek 1: Časové průběhy relativní odchylky  $s(t)$  a absolutní odchylky  $\|\Delta \tilde{u}\|(t)$ .

Porovnání odchylek je znázorněno na obrázku 1. Absolutní odchylky metod ode23t a ode23tb byly natolik vysoké, že by zakryly rozdíly mezi ostatními, proto nejsou zařazeny do grafu.

metoda	výpočetní čas	celková chyba	čas·celková chyba
<code>ode15s</code>	0,42	$4,4 \cdot 10^{-3}$	$1,8 \cdot 10^{-3}$
<code>ode23s</code>	1,61	$4,9 \cdot 10^{-3}$	$7,9 \cdot 10^{-3}$
<code>ode23t</code>	12,9	$8,8 \cdot 10^{-2}$	1,1
<code>ode23tb</code>	0,23	4,4	1,0

Tabulka 1: Výsledky experimentů

Výsledky v dalších ukazatelích jsou v tabulce 1, přičemž měřené veličiny byly popsány v části 3.1.

Experimenty jednoznačně ukazují na nevhodnost metod `ode23t` a `ode23tb` lze-li užít metody jiné. Výsledky upřednostňují metodu `ode15s`, ale jak je vidět z grafu, odchylky se chovají nepravidelně, což může vést ke zkreslování odhadů chyb.

## 4 Závěr

Za vhodné metody pro řešení úloh pocházejících z metody přímek aplikované na problém s volnou hranicí lze na základě zkušeností tohoto článku doporučit `ode15s` a `ode23s`. Je nutné mít na paměti, že popsaná úloha je nelineární, a proto nelze jednoduše zobecňovat, zejména kvůli nelineární vazbě mezi složkami řešení  $U_i$  a  $S(t)$ .

Kontakt: jslovan@kma.zcu.cz

## Reference

- [1] V. Alexiades; A. D. Solomon. *Mathematical modeling of melting and freezing processes*. Hemisphere Publishing Corp., Washington–Philadelphia–London, 1993. ISBN 1-56032-125-3.
- [2] J. Crank. *Free and Moving Boundary Problems*. Clarendon Press, Oxford, 1996. ISBN 0 19 853370 5.
- [3] R. M. Furzeland. A comparative study of numerical methods for moving boundary problems. *J. Inst. Maths. Applics.*, **26**:411–429, 1980.